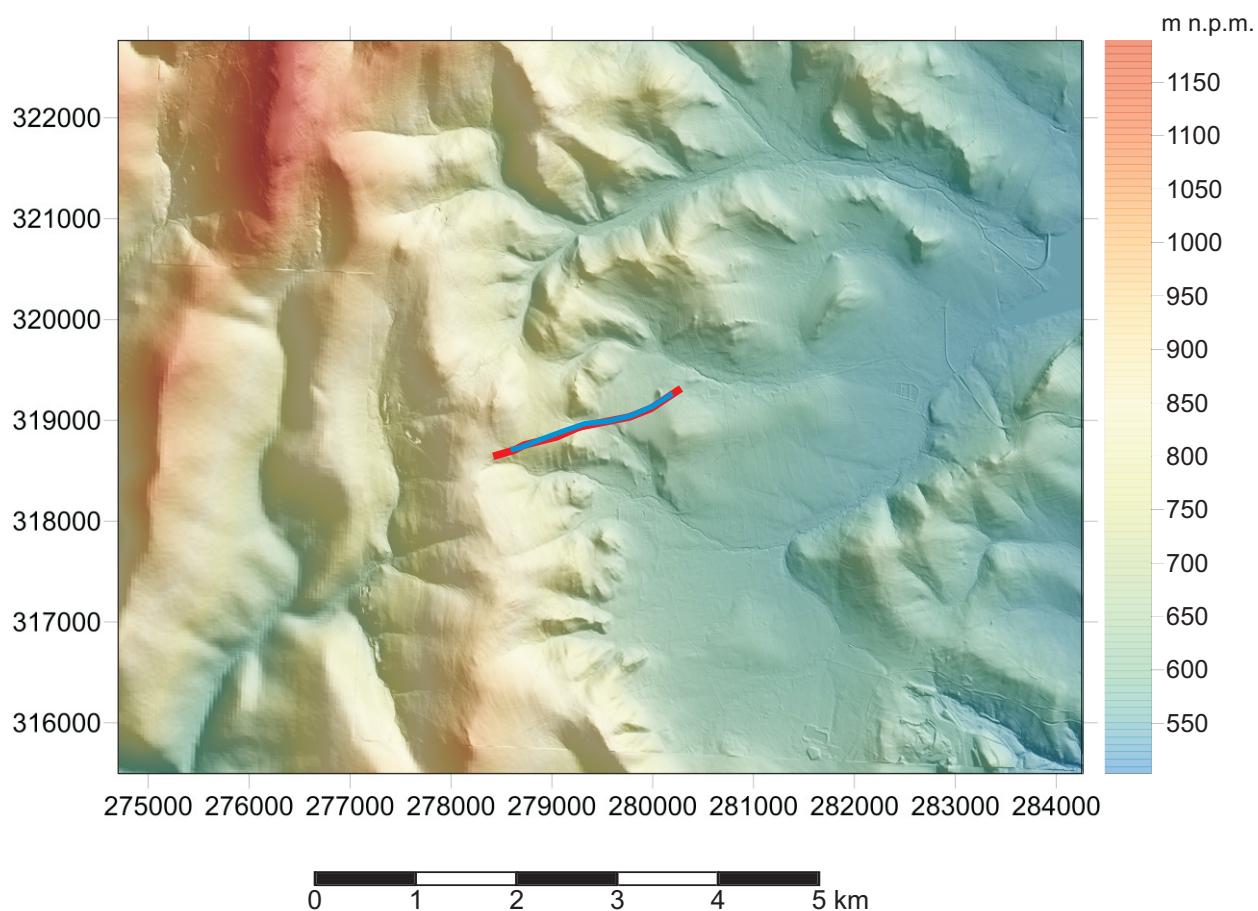


— ciąg badań ERT, SRT i/lub RS

Ciąg badań geofizycznych w rejonie Wojcieszyc na tle mapy cieniowanego reliefu (model ISOK - generalizacja pozioma siatki 5x5 m)

Współrzędne prostokątne w układzie 92

Fig. 2.1.1



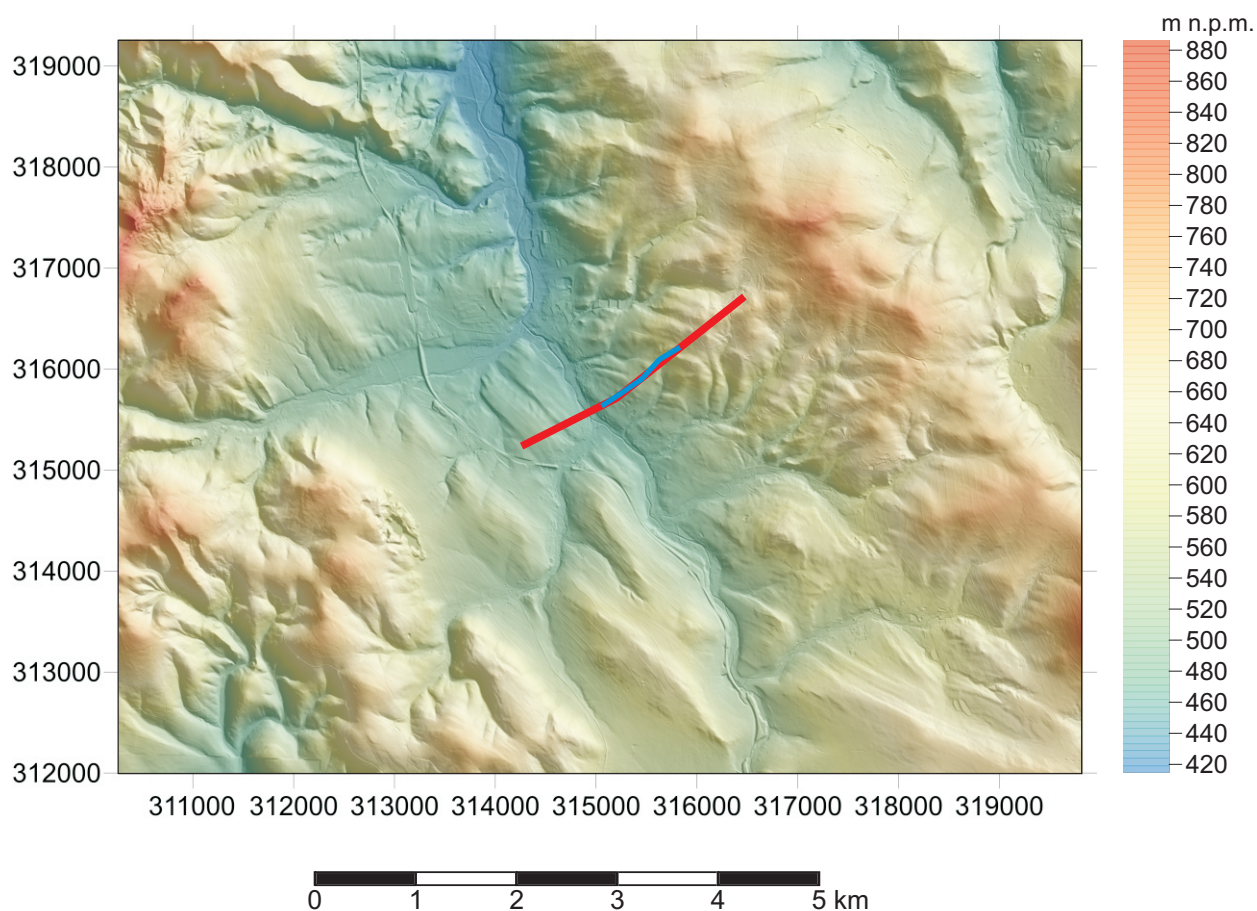
— ciąg badań MT

— ciąg badań ERT, SRT i/lub RS

Ciągi badań geofizycznych w rejonie Niedamirowa na tle mapy cieniowanego reliefu (model ISOK - generalizacja pozioma siatki 5x5 m, uzupełnienie model DTED2 poza granicami Polski)

Współrzędne prostokątne w układzie 92

Fig. 2.1.2



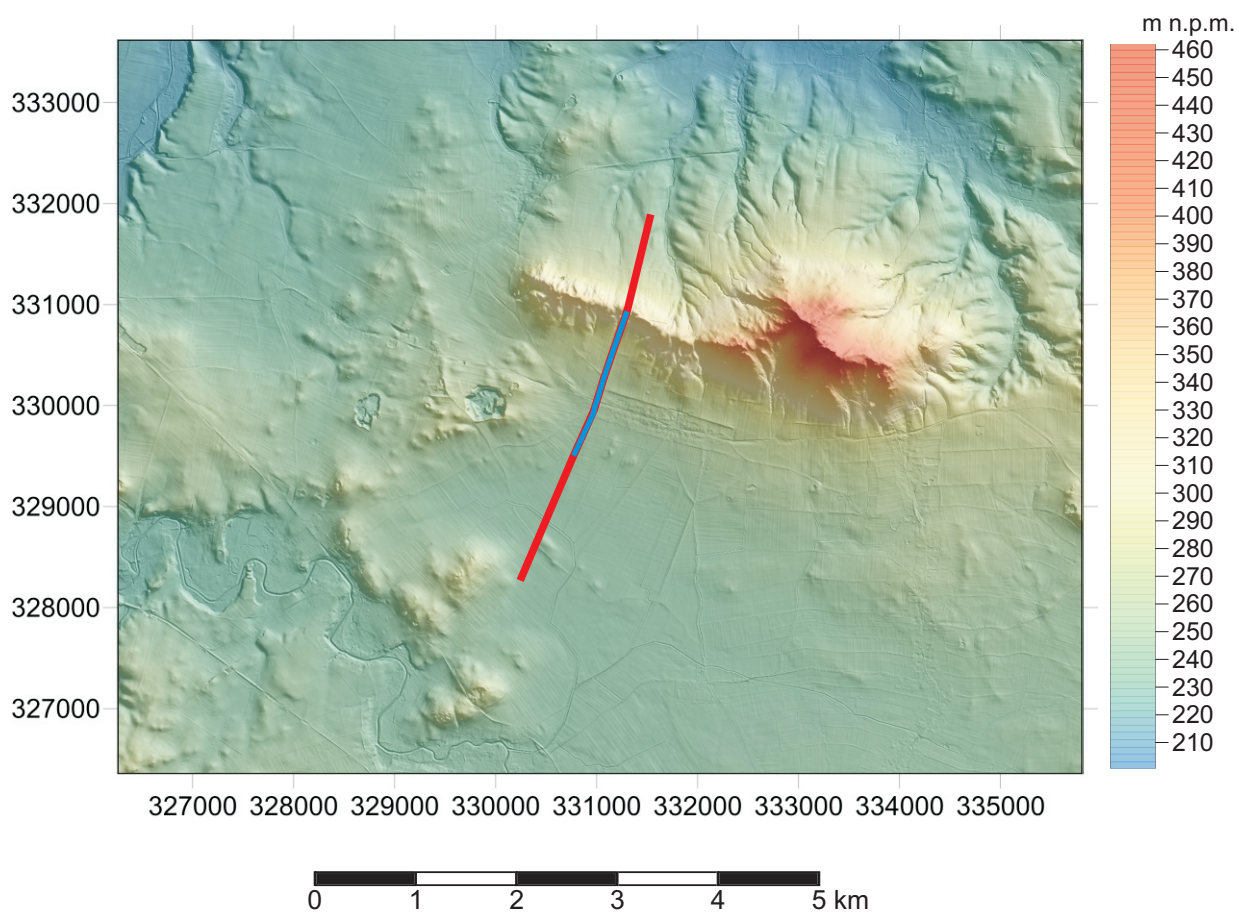
— ciąg badań MT

— ciąg badań ERT, SRT i/lub RS

Ciągi badań geofizycznych w rejonie Głuszycy na tle mapy cieniowanego reliefu
(model ISOK - generalizacja pozioma siatki 5x5 m)

Współrzędne prostokątne w układzie 92

Fig. 2.1.3



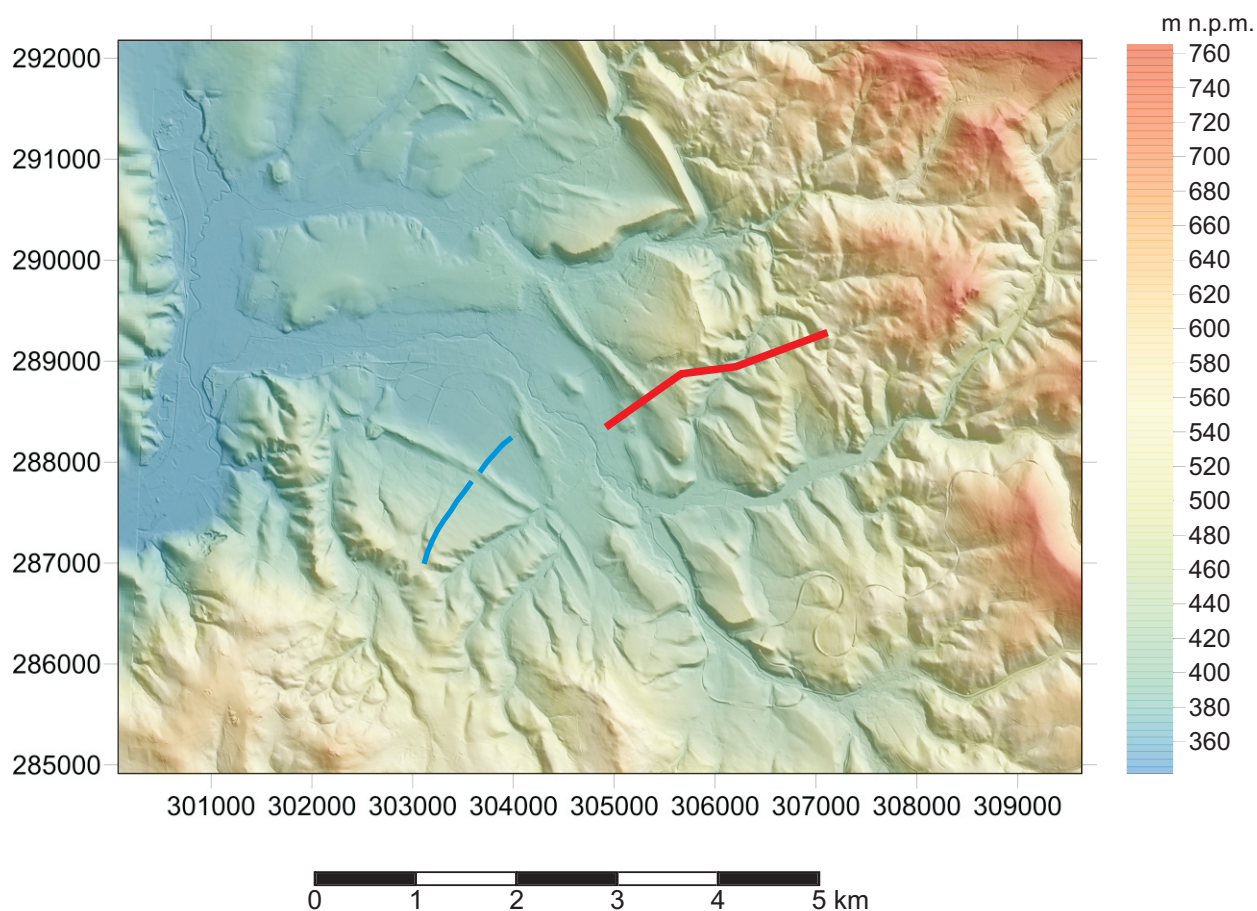
— ciąg badań MT

— ciąg badań ERT, SRT i/lub RS

Ciągi badań geofizycznych w rejonie Książnicy na tle mapy cieniowanego reliefu
(model ISOK - generalizacja pozioma siatki 5x5 m)

Współrzędne prostokątne w układzie 92

Fig. 2.1.4



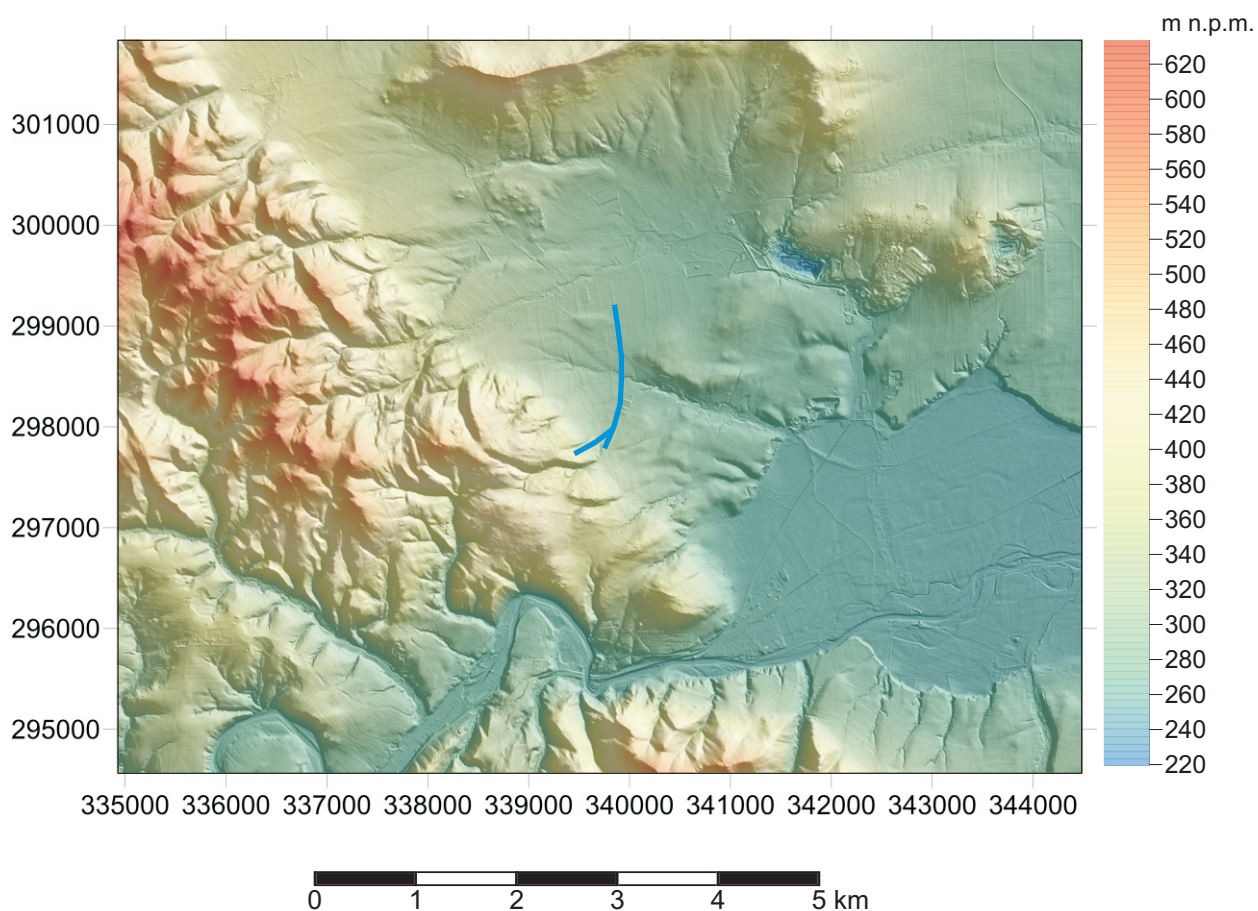
— ciąg badań MT

— ciąg badań ERT, SRT i/lub RS

Ciągi badań geofizycznych w rejonie Brzozowia i Kudowy na tle mapy cieniowanego reliefu (model ISOK - generalizacja pozioma siatki 5x5 m)

Współrzędne prostokątne w układzie 92

Fig. 2.1.5

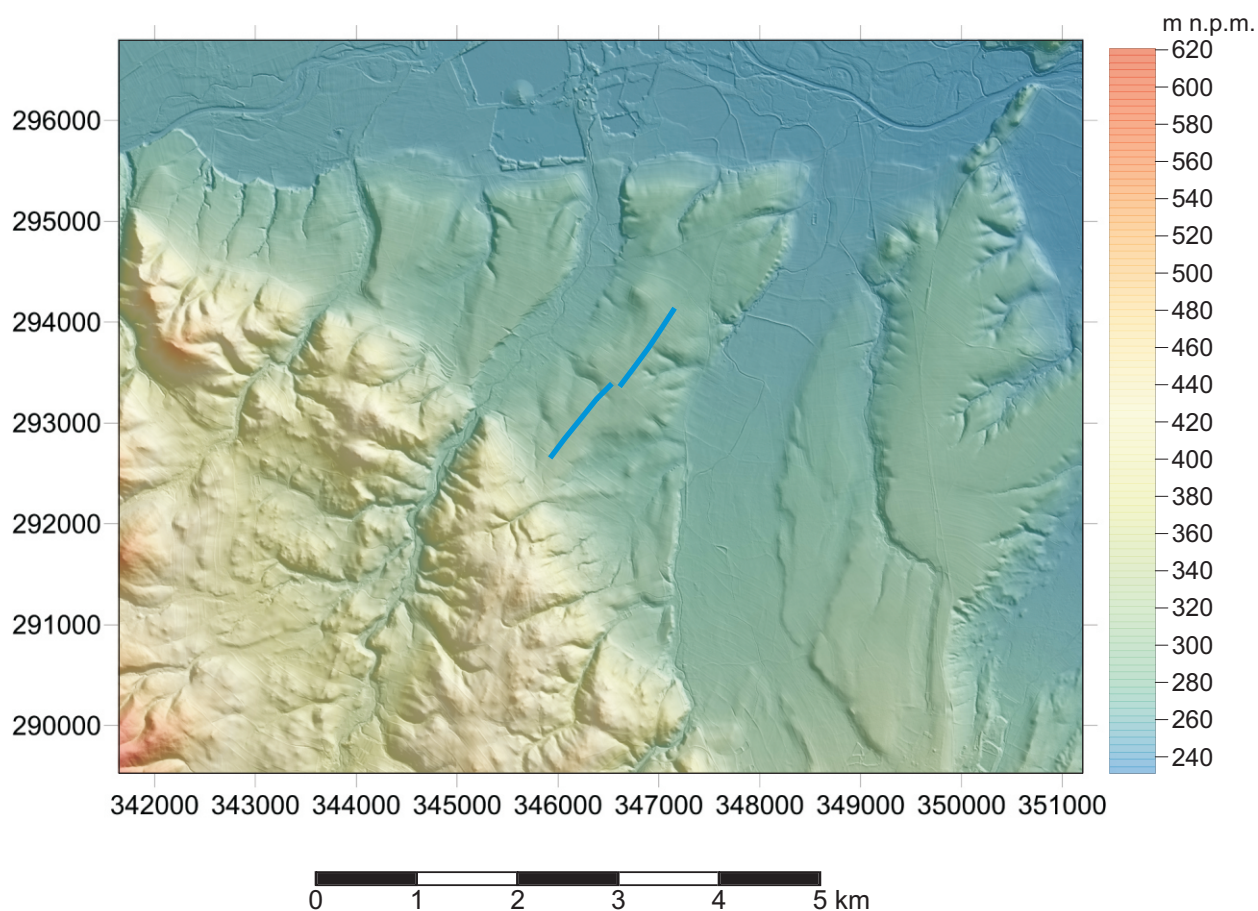


— ciąg badań ERT, SRT i/lub RS

Ciągi badań geofizycznych w rejonie Potworowa na tle mapy cieniowanego reliefu (model ISOK - generalizacja pozioma siatki 5x5 m)

Współrzędne prostokątne w układzie 92

Fig. 2.1.6

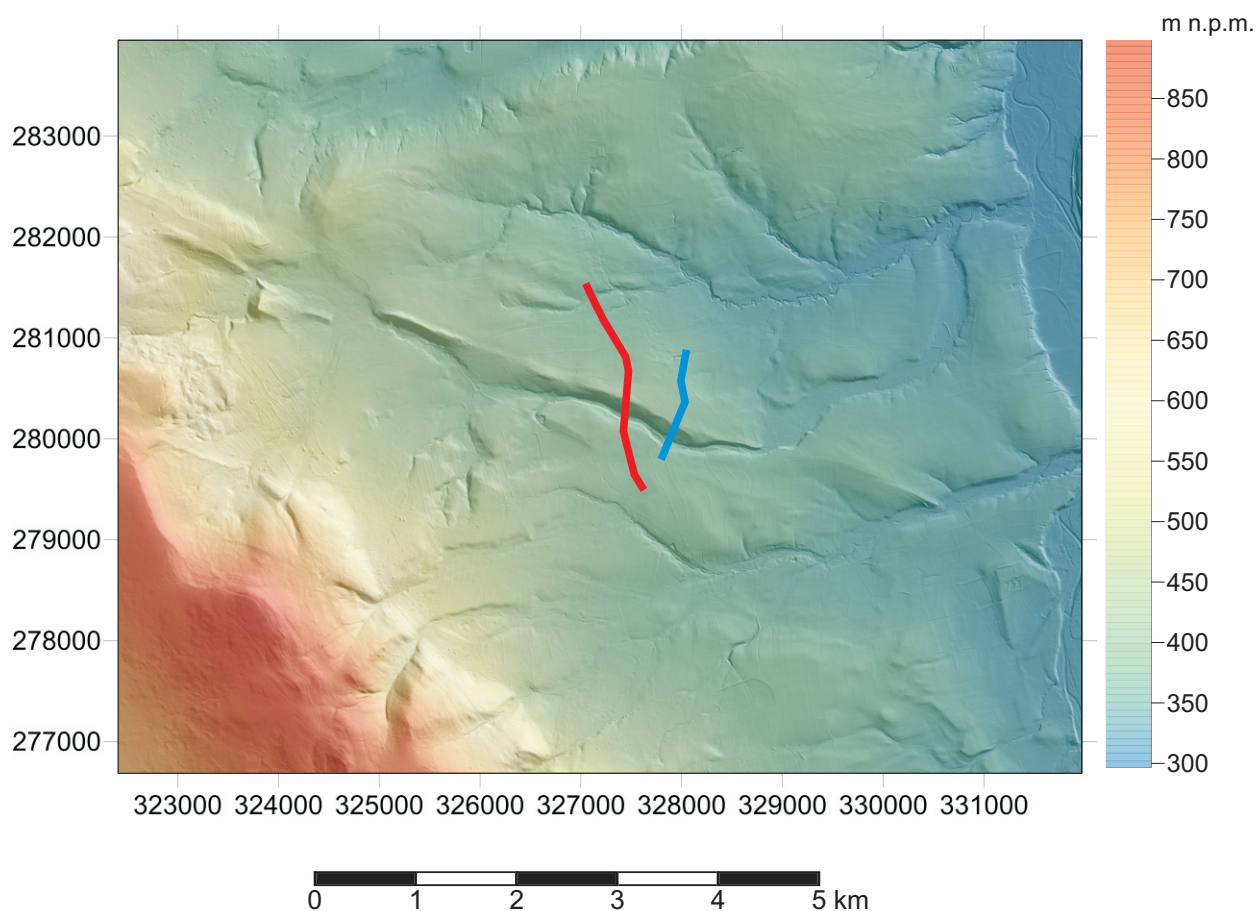


— ciąg badań ERT, SRT i/lub RS

Ciąg badań geofizycznych w rejonie Ożarów na tle mapy cieniowanego reliefu
(model ISOK - generalizacja pozioma siatki 5x5 m)

Współrzędne prostokątne w układzie 92

Fig. 2.1.7



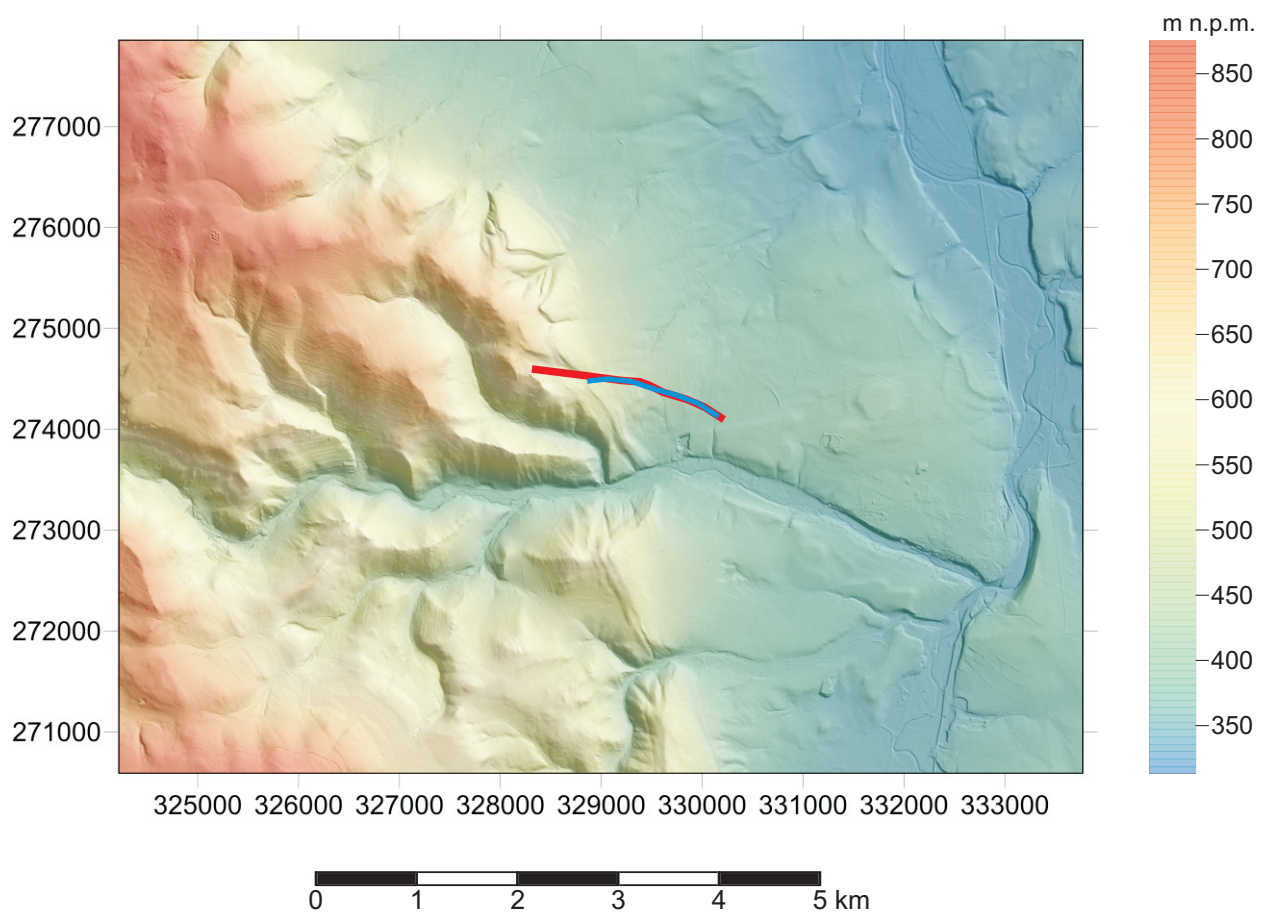
— ciąg badań MT

— ciąg badań ERT, SRT i/lub RS

Ciąg badań geofizycznych w rejonie Starej Łomnicy na tle mapy cieniowanego reliefu (model ISOK - generalizacja pozioma siatki 5x5 m)

Współrzędne prostokątne w układzie 92

Fig. 2.1.8



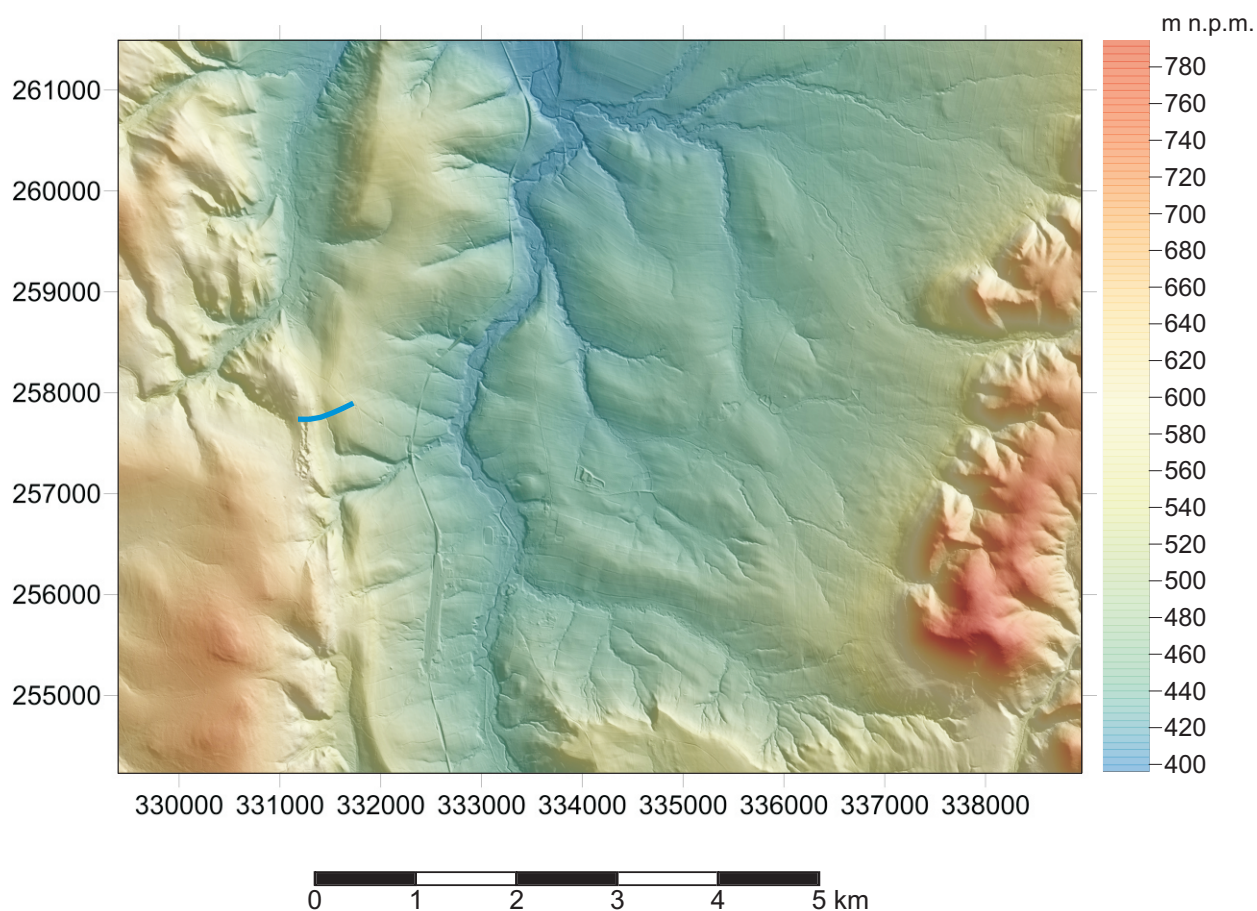
— ciąg badań MT

— ciąg badań ERT, SRT i/lub RS

Ciągi badań geofizycznych w rejonie Bystrzycy Kłodzkiej na tle mapy
cieniowanego reliefu (model ISOK - generalizacja pozioma siatki 5x5 m)

Współrzędne prostokątne w układzie 92

Fig. 2.1.9

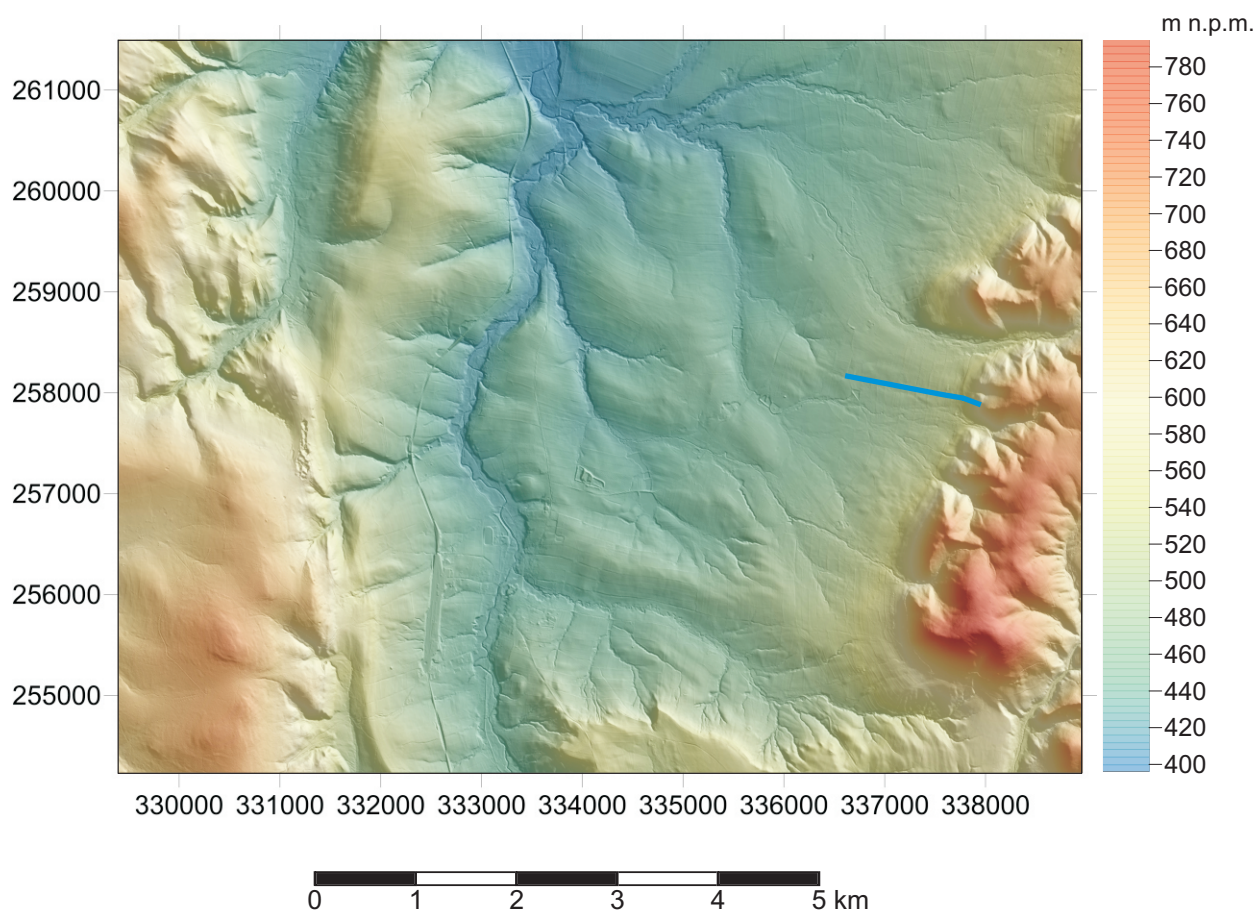


— ciąg badań ERT, SRT i/lub RS

Ciągi badań geofizycznych w rejonie Różanki i Goworowa na tle mapy cieniowanego reliefu (model ISOK - generalizacja pozioma siatki 5x5 m)

Współrzędne prostokątne w układzie 92

Fig. 2.1.10

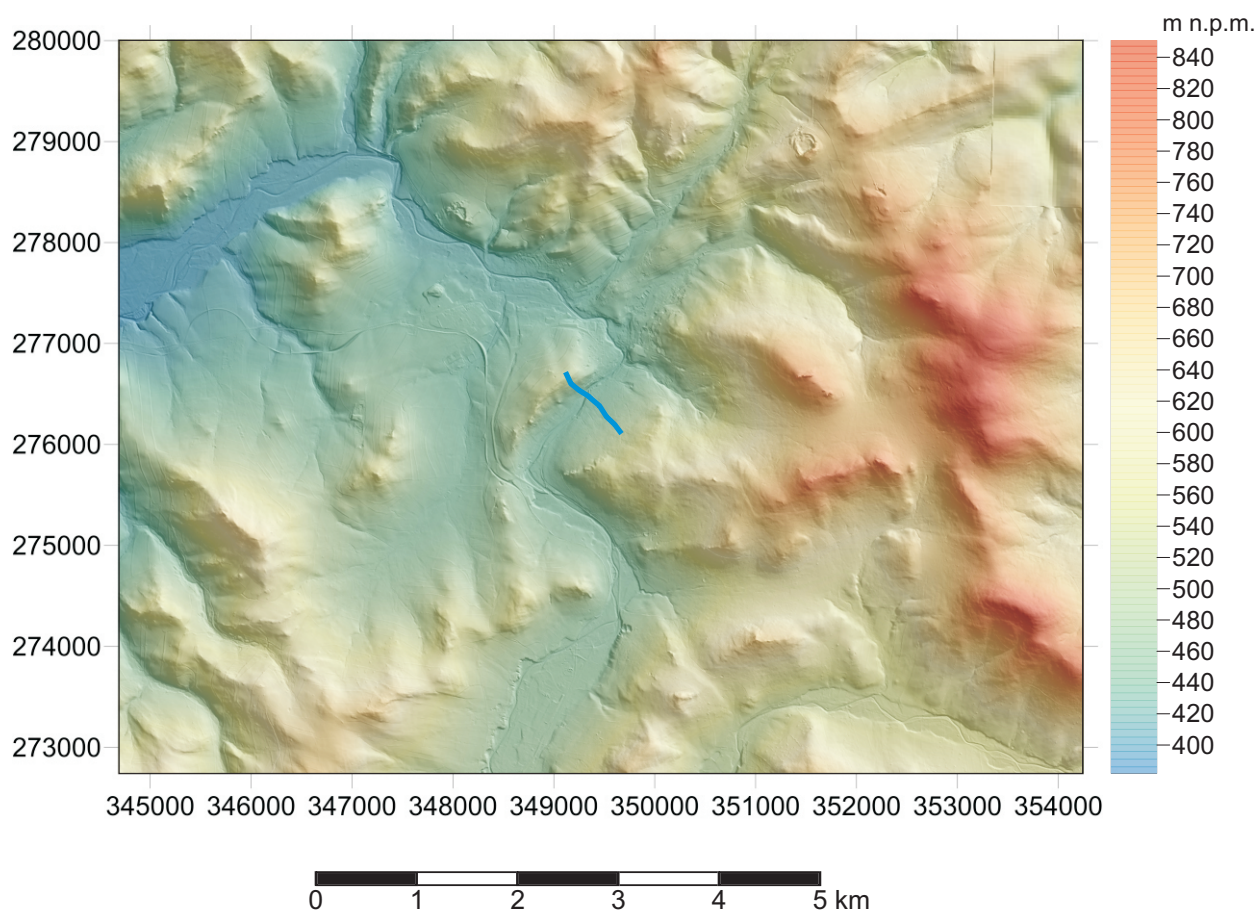


— ciąg badań ERT, SRT i/lub RS

Ciągi badań geofizycznych w rejonie Różanki i Goworowa na tle mapy cieniowanego reliefu (model ISOK - generalizacja pozioma siatki 5x5 m)

Współrzędne prostokątne w układzie 92

Fig. 2.1.11

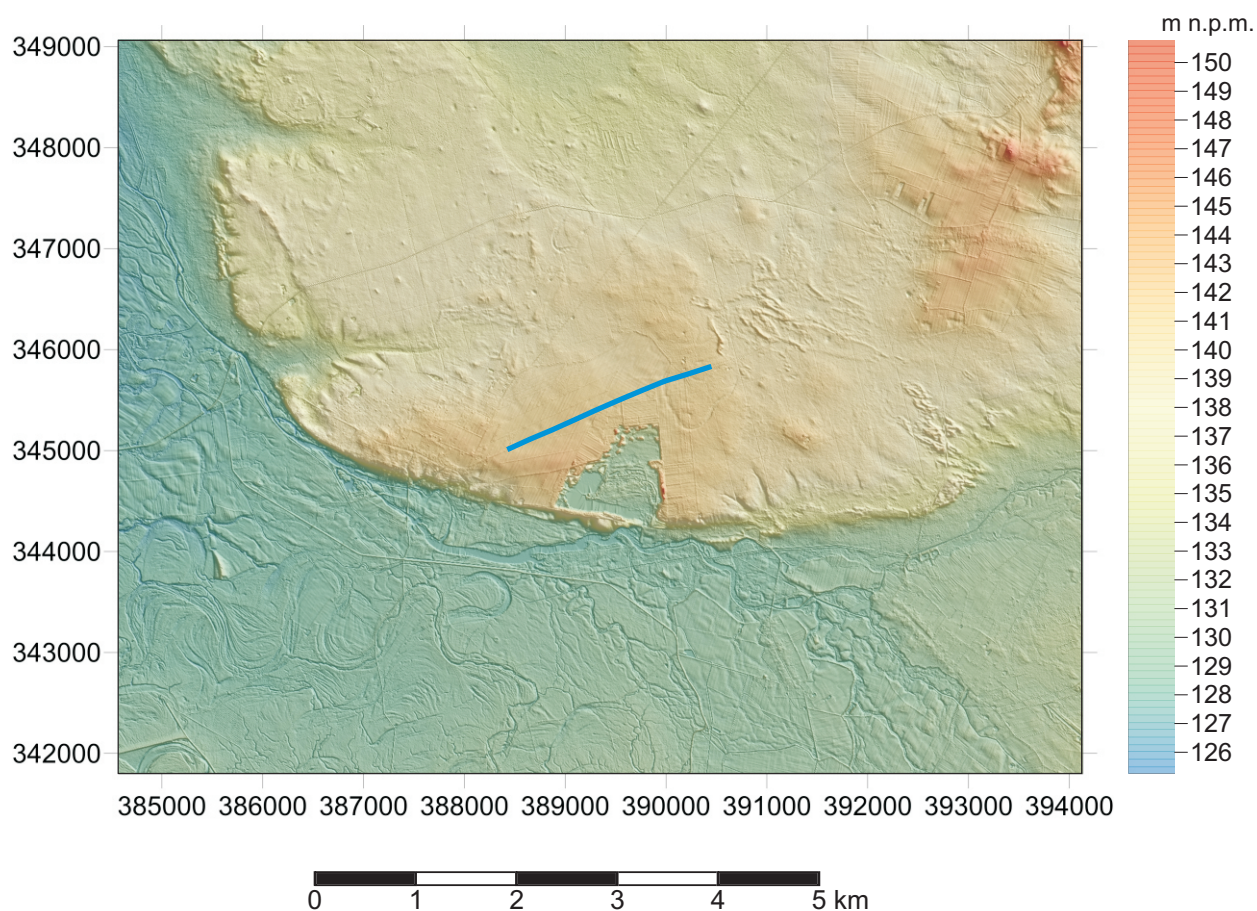


— ciąg badań ERT, SRT i/lub RS

Ciąg badań geofizycznych w rejonie Łódki na tle mapy cieniowanego reliefu
(model ISOK - generalizacja pozioma siatki 5x5 m)

Współrzędne prostokątne w układzie 92

Fig. 2.1.12

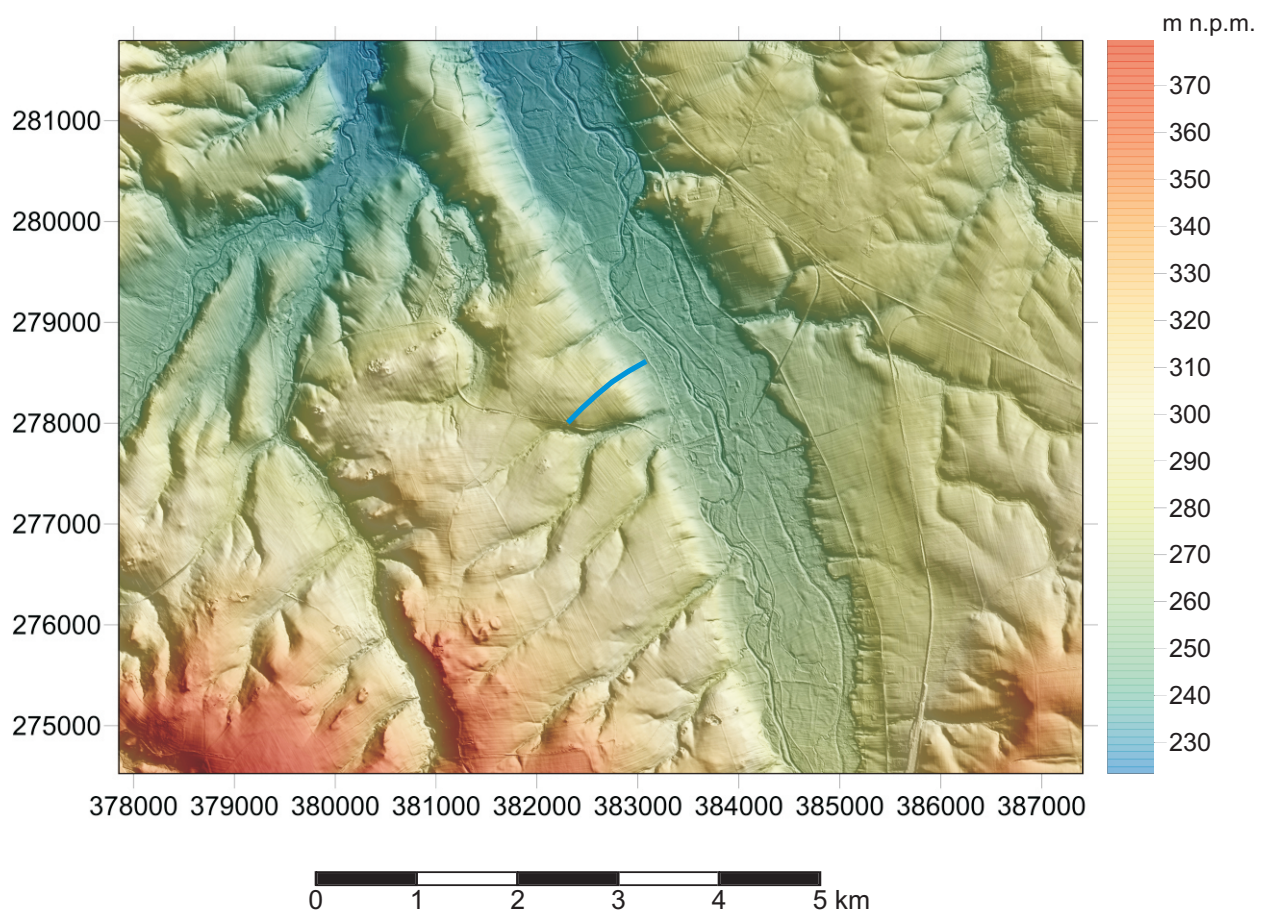


— ciąg badań ERT, SRT i/lub RS

Ciąg badań geofizycznych w rejonie Jelcza na tle mapy cieniowanego reliefu
(model ISOK - generalizacja pozioma siatki 5x5 m)

Współrzędne prostokątne w układzie 92

Fig. 2.1.13

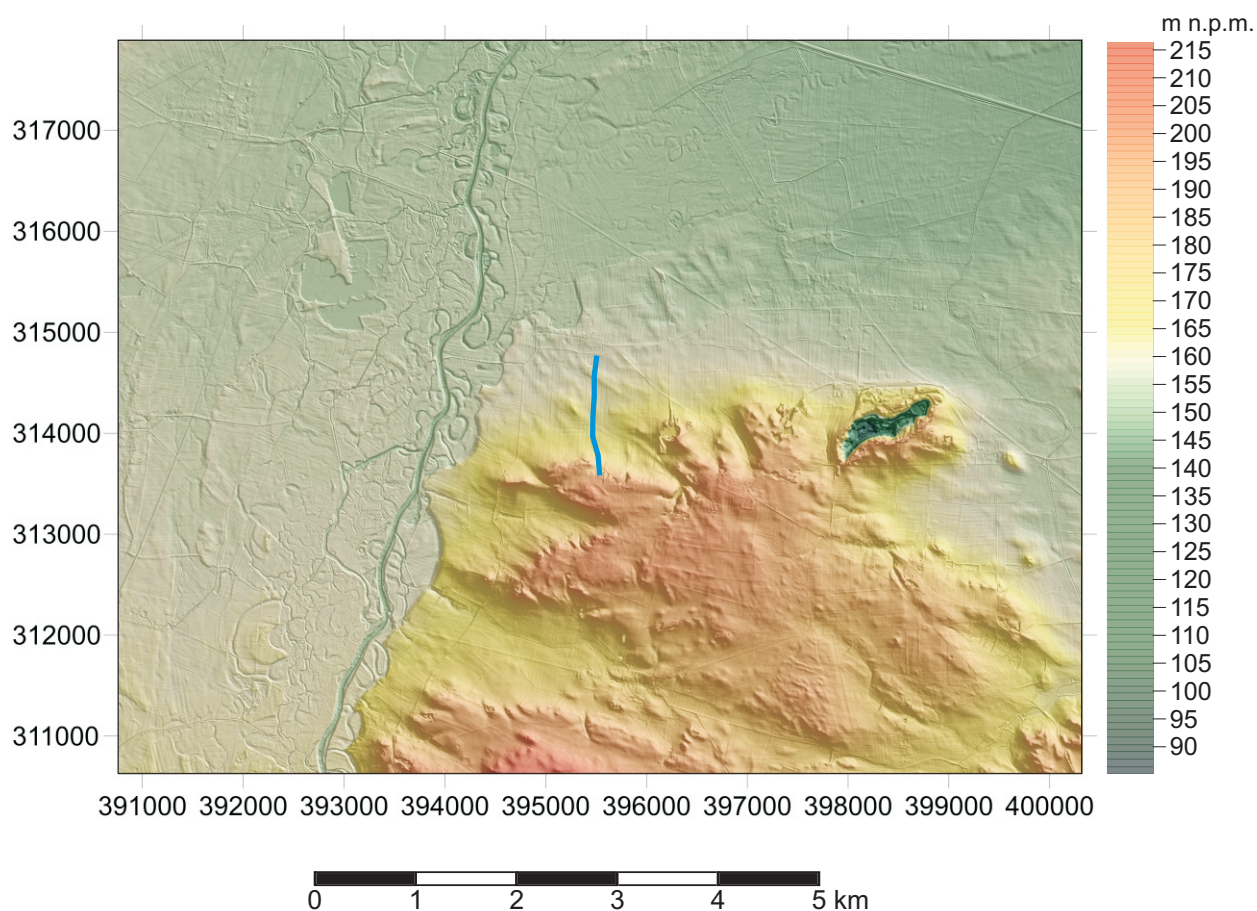


— ciąg badań ERT, SRT i/lub RS

Ciąg badań geofizycznych w rejonie Wilamowic na tle mapy cieniowanego reliefu
(model ISOK - generalizacja pozioma siatki 5x5 m)

Współrzędne prostokątne w układzie 92

Fig. 2.1.14



— ciąg badań ERT, SRT i/lub RS

Ciąg badań geofizycznych w rejonie Radoszowic na tle mapy cieniowanego reliefu (model ISOK - generalizacja pozioma siatki 5x5 m)

Współrzędne prostokątne w układzie 92

Fig. 2.1.15